

# 同步电机 理論与行为

查理士·康柯蒂亞原著

高等教育出版社

55  
1.  
18

本書系根据美国通用电气公司 (General Electric Company) 出版的  
查理士·康柯蒂亞 (Charles Concordia) 著 “同步电机，理論与行为”  
(Synchronous Machines Theory and Performances) 1951 年版譯出。本書主要研究同步电机的瞬态理論。書中采用了基本的数学分析，發展了一些基本方程式，这些方程式可用以計算同步电机瞬态的短路电流和轉矩，同步及异步运转中的稳态功率、轉矩和电流，以及負載突然投入后的电压波动。它所引述的研究方法及所得的結論可供設計同步电机时参考。

本書可供高等工業学校电机制造專業作参考書，也可供电机設計工作者参考。

## 同 步 电 机

理 論 与 行 为

---

查理士·康柯蒂亞 原著

曾繼鐸譯

高等 教育 出 版 社 出 版 北京琉璃廠170號

(北京市書刊出版業營業許可證出字第054號)

京华印書局印刷 新华書店總經售

---

統一書號15010·626 開本 850×1168 1/32 印張 7 5/16 字數 173,000 印數 0001—2,500

1958年2月第1版 1958年2月北京第1次印刷 定價(10) 1.10

# 原序

這本書的主要目的，乃欲介紹同步電機瞬變行為（performance）基本電路理論的綜合發展；這種理論，曾為直接從事於預決電機行為的工程師們所通用。書中材料是給通用電氣公司過去三年中所設的同步電機課程而寫的。所呈現的一般方程式，可用以計算瞬態的短路電流和轉矩；同步運轉時和起步過程中的穩態功率、轉矩和電流；以及負載突然投入後的電壓波動。重點放在相當嚴格的數學分析和獲得電機的基本物理知識上，以期讀者在需要的時候，有能力去推廣這個理論。

作者假定，讀者知道但不一定要熟悉：

1. 靜電路普通的穩態和瞬態理論，包括電路中電磁感應的基本定律。
2. 同步電機的一般構造。
3. 普通微分方程以及運算微積各種形式的最少一種。
4. 關於圓轉子交流旋轉電機的通行的大學課程；它只包括穩態行為。
5. 對稱分量法。
6. 電機和電力系統參數表示法的標么系統。

因而，這本書主要是給實習工程師使用的，他們需要學習同步電機瞬態理論的某些知識，但他們過去不得不在近二十五年來的技術文獻中去遍尋這些東西。在這本書里，雖能找得到關於許多特定情況的公式，但它不預備作參考書之用。反之，它却是供人們從頭到尾閱讀的。

熟悉同步電機文獻的人們自然明了，為統一起見，其中許多演算和符號、以至在某些情況中的結論的形式，都經過了一番整理。

特別是在推導一般方程式的方法和對單相短路的處理上，曾不得不大事校訂。此外，還增加了某些新的材料。這些新項目是：雙線對地短路、短路轉矩的單向分量、起步轉矩、和負載投入後的電壓低落的研究。

在本書里所介紹的理論，是許多工程師在大約二十五年以上的時期內登峰造極的工作。因為他們实在多得難以陳述，所以只能通過參考書刊表和圖書目錄來表达作者對這些來源的謝意。然而，我需要特別感謝 S. B. 克萊利(Crary)先生經常的鼓勵和支持，和 G. 克朗(Kron)先生對觀點的幫助。我必須再申述我的信念，所以能獲得這本書可能有的質量，其主要的因素是某一大工業公司的風氣，這種風氣，把為了與最新的實際直接接觸而必需的工作、和獲得由它的規模所提供的專業的机会結合起來了。

查理士·康柯蒂亞

一九五一年三月

73.256

0441

# 目 录

<b>原序 .....</b>	<b>▼</b>
<b>1. 同步电机物理的叙述 .....</b>	<b>1</b>
<b>2. 同步电机数学的叙述 .....</b>	<b>5</b>
电压的关系式(7) 磁链的关系式(8) 感应系数的关系式(9) 方程式的 变换(13) 电枢电压方程式(16) 运算阻抗(18) 标么量(21) 求 $x_d$ 和 $x_q$ 的转差试验(23) 求 $x_d$ 的短路试验(25) 零序电抗(26) 功率输出(26) 转矩(29) 总结(31) 習題(32)	
<b>3. 稳态的、平衡的、同步运转 .....</b>	<b>34</b>
稳态的矢量圖(34) 磁場磁鏈(36) 功率输出(38) 功率的角特性(39) 稳定性(43) 無功伏安(46) 关于兩台电机功率的角特性(48) 总结(53) 習題(54)	
<b>4. 三相短路电流 .....</b>	<b>55</b>
整步电流(60) 短路电流的稳态分量(61) 短路試驗(68) 計及电枢电阻的 短路(69) 磁場电流(74) 总結(76) 習題(77)	
<b>5. 单相短路电流 .....</b>	<b>78</b>
綫对綫短路(78) 相量(83) 綫对中点短路(84) 綫对綫障碍中的空开路相电 压(87) 电压和电流的諧波分量(88) 衰減因数(92) 磁場电流(98) 总結 (100) 習題(101)	
<b>6. 双綫对地短路及連續的障碍 .....</b>	<b>108</b>
对称分量(106) 轉子衰減因数(111) 定子或电枢衰減因数(113) 磁場电流 (116) 开路相电压(116) 連續障碍的發生(117) 总結(121) 習題(122)	
<b>7. 短路轉矩 .....</b>	<b>121</b>
三相短路-忽略全部电阻(123) 三相短路-电枢电阻 的效应(125) 三相短 路-轉子电阻的效应(127) 关于三相短路轉矩的討論(131) 綫对綫短路 (139) 轉矩(140) 短路的其他型式(147) 綫对中点轉矩的諧波分量(151) 轉矩的單向分量(152) 由于电流直流动分量而产生的轉矩單向分量(162) 近似 的轉矩方程式(165) 总結(168) 習題(169)	
<b>8. 起步轉矩 .....</b>	<b>170</b>

499619

---

等效电路(176)	关于近似的轉矩方程式(176)	“精確”法和近似法的比較
(180)	平均轉矩( $d$ 和 $q$ 軸法) (182)	磁場激励(185)
(189)	總結(188)	習題
<b>9. 电压低落</b>		190
电压調整器的效应(196)	最低电压(198)	所需的励磁机限值(201)
(201)	饱和	
励磁机的适应能力(203)	电压恢复的时间(206)	原有負載的影响
(206)	磁場电流(208)	總結(208)
	習題(209)	
<b>附录</b>		211
甲. 在双綫对地障礙中, 表示电流的佛里哀級數, 及 $i_d$ 与 $i_q$ 的基頻分量	(211)	
乙. 轉矩(217)		
<b>参考書刊</b>		221
<b>圖書目錄</b>		224

# 1. 同步电机物理的叙述

一部同步电动机或发电机，实质上系由两个元件所组成的：第一个产生磁场，第二个是一组电枢线圈；由于这两个元件的相对运动在电枢线圈里产生电压。在普通的新式电机里，磁场结构是在定子里面旋转的，这个定子支撑着电枢绕组，并给电枢绕组提供磁通的路线。激励的磁场寻常是由一组装在运动的元件上，即转子上的线圈（磁场绕组）所产生的。因为绝大部分的电力是以三相功率的形式产生的，而在消耗大量功率之处，也是以三相功率的形式来供应的，通常有三组电枢线圈，以 $120^\circ$ 的间距沿定子排列，使得当磁场以定速旋转的时候，在线圈里所产生的电压的相位相互移开 $120^\circ$ 。关于最后的这段话，应该在这里给两节按语。

1. 不加附带条件时，这句話只适用于二極（即一对極）电机。在一台备有兩对極的电机里，必須相应地具有兩整套相隔 $180^\circ$ 的电極线圈，而每一套的三个线圈，各相隔 $60^\circ$ 。圖1就說明了这些线圈的布置情形，以及二極和四極电机磁通的路线。說得更为普遍一些，每一套的三个线圈必須相隔 $120/n$ 度，而各套相隔 $360/n$ 度；这里的 $n$ 是極对数。通行而且便利的方法是用“电度”来测量线圈之間的距离。 $360$ 电度对应于包含在一对極中的角度，而 $360$ 真的（即机械的）角度乃等子 $360 n$ 度。这样說来，通过电度来测量距离，每一套的三个线圈总是相隔 $120$ 度的。

2. 不論磁场的旋转速度怎样，所产生的稳态电压（当负载平衡的时候）在相位上总是相隔 $120^\circ$ 的。也就是说，因为 $(\frac{1}{n})$ 轉（等于一对極所占空间的位移）总是对应于發生电压的一周，即基頻总是恰恰等于旋转速度的 $n$ 倍，并且因为轉速恒定的时候，轉子移

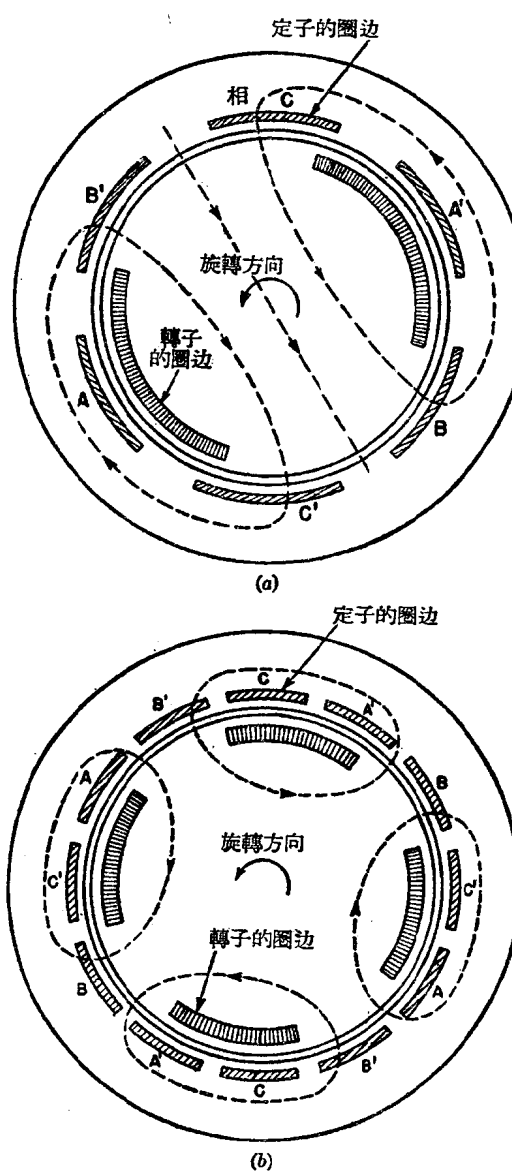


圖 1. 在二極和四極電機里線圈的布置圖。

动一定距离所需的时间与所移动的距离成正比例，所以轉子从对着一个线圈的任一给定的位置移到对着第二个线圈的对应位置所需要的时间，准是一周的三分之一或 120 电度。当然，这台电机通常是接到三相汇流排的，同时且有别的同步电机对这汇流排供给电压，因此，除非这台电机和接到这个系统的其余电机同步，这个外施电压就不会与它的旋转速度相对应。所以“同步电机”这个名词是指某一普通和别的同样类型的电机保持同步运行的电机，而同步运转、失去同步、和脱步这些名词，只在

对一台接到某系統的电机而言时才有意义，对单独运行的电机來說，是没有意义的。

因为在正常运转的时候，由磁场繞組所产生的磁通是对着定子繞組和支撑这个繞組的磁性結構而旋转的，在铁里和在线圈里一样产生电压；这就需要把定子铁分成薄片，以开断涡流的路綫，借以减少  $i^2r$  損耗以及那不这样就会發生的短路效应。

另一方面，磁场結構或轉子主要只須承受一些恒定的磁通，因而不必全部分成薄片。当具有同步頻率的三相平衡电樞电流流动的时候，由这些电流所产生的磁勢就联合構成一个合成磁勢，而这个磁勢以和磁场一样的速度而旋转。人們已經找到研究这个电樞磁勢效应的最好办法，就是把它分成空間諧波；从而可以發現，基本分量是以轉子的速度旋转的，所以对磁场來說，它是靜止的；而其他的空間諧波則以不同的速度旋转，所以对磁场而言，它們是运动的。因为电樞綫圈沿定子面的分布，是为了想尽量减弱除空间基波以外的全部諧波而設計的，从运行的情况看来，可以認為这些諧波的效应是次要的。它們增强电樞的漏抗（即增强那个不与任何轉子繞組鏈合的電極磁通的部分），并在轉子的表面上引起渦流損耗；因而只要可能，最少應該把轉子铁的表面分成薄片。总的說來，除了高速的二極或四極汽輪發电机之外，所有的电机实际上都有叠片的極面，并用圖 2 所示的顯極構成，只有二極或四極电机的轉子可以做成一整塊的鋼。在圖 2 里也能看到一个阻尼繞組，它通常是由一組紫銅或黃銅条所組成，裝在电机極面的槽里，并在端部連接起来。这阻尼繞組有几个有用的功能<sub>[1]</sub><sup>①</sup>：利用阻尼繞組当作感应电动机的鼠籠，使得同步电动机可以当作感应电动机起步；帮助抑制轉子的振蕩；用以在某种短路的情况下減低过电压；促进电机的整步。

① 方括弧里的数字系指本書末参考書列表中的項目。

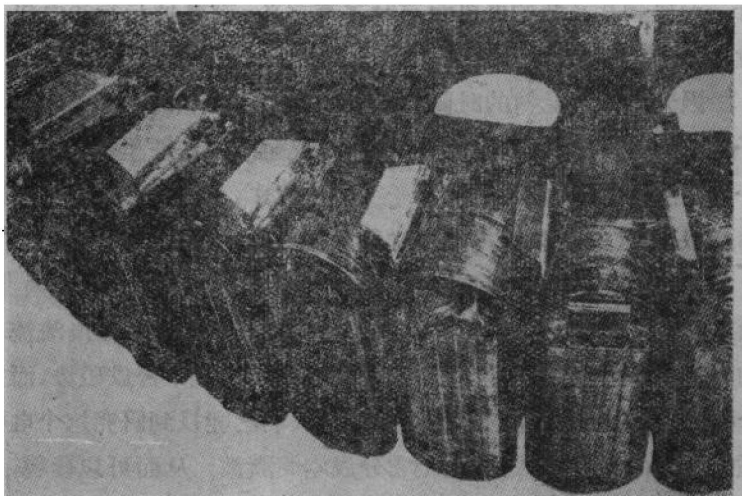


圖 2. 显極电机的轉子。

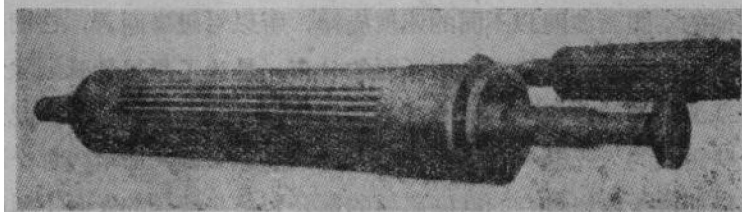


圖 3. 整塊轉子电机的轉子。

圖 3 显示着整塊轉子的二極汽輪發电机的兩種轉子。在這個情況之下，整塊的鋼轉子自己就提供了阻尼繞組的作用。

从上面的概述中可以了解，同步电机的定子和轉子，在下述各方面不同：定子多少是标准化了的，不論同步电机的类型怎样，它的形狀是比較簡單的；此外，就三相的任一相而論，它是完全对称的。另一方面，轉子却有許多种型式，最簡單的情况是在还算对称的叠片轉子上裝着一个單独的磁場繞組，然后是一个其阻尼繞組为几个繞組組成的显極轉子，或是一个虽然除磁場之外对称，但仍旧复杂的整塊轉子。整塊轉子之所以复杂，因为那个整塊的鋼轉子是可以当作一个电路無限多的阻尼繞組来看待的。

## 2. 同步电机数学的叙述

我們已在第一章里指出，同步电机是由兩個主要部件、即定子和轉子所組成；它們处于相对运动之中，而且結構非常不同。尽管如此，仍只需通过全部繞組的自感和互感系数，就可以写出电路电压方程式。为了要做这件事，我們必須首先判明轉子繞組是什么东西。

我們假定，轉子的磁路以及它的全部电路都是环绕着如圖 4 所示的显極电机的極軸和極間軸而对称的。磁场繞組当然是和别的繞組分开的，而且它的軸綫和極的軸綫相重合。阻尼繞組全部連接起来，成为連續的網形联接，不过，如果它們是对称地排列着的話，电流的路綫，也可以选得繞着極軸和極間軸而对称。圖 4 显示着所选的电路。从与極軸重合的縱軸开始，給銅条編号，再用

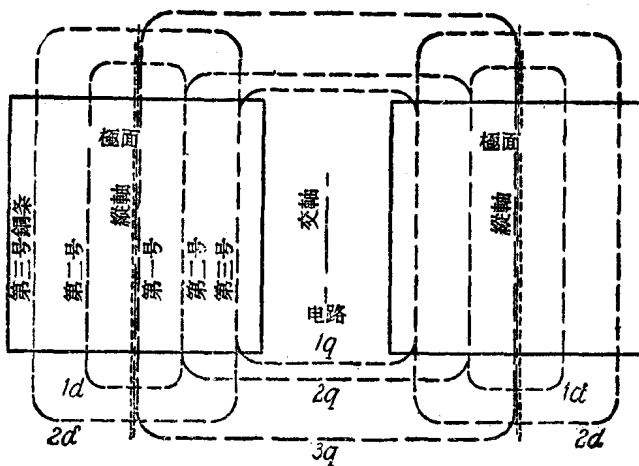


圖 4. 轉子电路的編号阻尼繞組电路的圖解。

$1d$ 、 $2d$  等等給縱軸電路編號，以便和這些銅條相對應。在正常的轉子旋轉的方向上，取超前于縱軸  $90$  电度的軸線當作交軸，從這個軸向外，依次用  $1q$ 、 $2q$  等等來給這個軸線上的電路編號。轉子電路的這種選擇，具有使縱軸和交軸轉子電路之間的互感系數和互用電阻全部為零的好處。有些電機里，阻尼條不在兩極之間連接，但因這些銅條未經絕緣，即使在這樣的情況之下，電流仍舊可以在電機的端部通過轉子本身的鐵而在兩極之間流動。這個缺乏絕緣的事實，還意味著電路方程式只是近似的因為在實際的情況里，有些電流可能通過鐵而散開。除了在涉及極間鐵的電路的地方，及除了鐵里的電流成為全部阻尼效應的汽輪發電機里，這個效應是微不足道的。因為汽輪發電機在這方面很不同於顯極發電機，讓我們理解了顯極的情況之後，再來單獨研究汽輪發電機的情況。

定子和轉子之間的全部互感系數，是轉子角位的周期性函數。此外，由於轉子有顯極的緣故，任何兩個定子相之間的互感系數也是轉子角位的周期性函數。這樣，我們得到其系數大部分都是轉子角位周期性函數的微分方程式系；因此，甚至在轉子速度為恒定的情況之下（如果略去飽和，方程式應是線性的），它們仍是棘手而難解的。然而，人們已經發現，如果作出某些合理的假定，經過比較簡單的變數變換後，會使這些麻煩的角函數從這些方程式里澈底消去。

第一個假定是，單就定子對轉子的全部互感效應來說，定子繞組是按正弦律沿着氣隙分布的。差不多在所有的同步電機里，繞組的分布都是在可行的範圍內盡量消滅全部諧波的<sup>[2]</sup>。從這一點看來，這個定子繞組正弦分布的假定可算是合理的。主要的證明還在於根據這個假定所算得的行為，與由試驗而得的行為相比較，是趨於一致的。

第二個假定是，定子的槽不致於使轉子的任一感應系數因轉

子角位的不同而有显著的变化。对于每极槽数很多的电机而言，这个說法是容易理解的，但对槽数少的(特別是整数槽的)电机來說，就不那样明显了。然而，少数槽主要發生在極数多的电机里，因而槽的任何效应，还可以从整个电机平均計算。最后的証明也是从比較理論与實驗的結果而来。

將在这本書里作出的第三个假定，目前至少可以說是，飽和可以忽略。涉及飽和的各项假定的影响，將在以后指出。

現在，可以用下面的方程式，来叙述同步电机的电的行为。

### 电压的关系式

**电樞或定子**

$$\begin{aligned} e_a &= p\psi_a - ri_a \\ e_b &= p\psi_b - ri_b \\ e_c &= p\psi_c - ri_c \end{aligned} \quad (1)$$

其中， $e_a = a$  相的端压。

$\psi_a = a$  相的总磁鏈。

$i_a =$  在  $a$  相中的电流。請注意所取电樞电流的正向，是与可能見于靜止網絡的正向电流相反的；这是为了使正电流对应發电机的作用。

$a, b, c$  是照圖 5 所示轉子旋轉的方向而注明的三相。

$r =$  每一电樞繞組的电阻，假定在  $a, b, c$  三相里都是一样的。

$p =$  导数运算子  $d / dt, t =$  时间。

**磁場**

$$e_{fd} = p\psi_{fd} + r_{fd}i_{fd} \quad (2)$$

在这里和在下面的方程式里， $e, \psi, i$  这些符号，和上面一样、有同样的意义，其下标指所論的电路。

**縱軸阻尼繞組**

$$\begin{aligned} 0 &= p\psi_{1d} + r_{11d}i_{1d} + r_{12d}i_{2d} + \dots \\ 0 &= p\psi_{2d} + r_{21d}i_{1d} + r_{22d}i_{2d} + \dots \end{aligned} \quad (3)$$

余类推。

这里,下标  $12d$  和  $21d$  是指  $1d$  和  $2d$  电路之間的相互效应(請參看圖 4)。應該注意, 阻尼繞組同时是电阻耦合与电感耦合的; 由于轉子对縱軸和交軸对称, 在縱軸和交軸电路之間, 是沒有耦合的。

### 交軸阻尼繞組

$$\begin{aligned} 0 &= p\psi_{1q} + r_{11q}i_{1q} + r_{12q}i_{2q} + \dots \\ 0 &= p\psi_{2q} + r_{21q}i_{1q} + r_{22q}i_{2q} + \dots \end{aligned} \quad (4)$$

余类推。

## 磁鏈的关系式

### 電樞

$$\begin{aligned} \psi_a &= -x_{aa}i_a - x_{ab}i_b - x_{ac}i_c + x_{af}i_{fd} + x_{a1d}i_{1d} + x_{a2d}i_{2d} \\ &\quad + \dots + x_{a1q}i_{1q} + x_{a2q}i_{2q} + \dots \\ \psi_b &= -x_{ba}i_a - x_{bb}i_b - x_{bc}i_c + x_{bf}i_{fd} + x_{b1d}i_{1d} + x_{b2d}i_{2d} \\ &\quad + \dots + x_{b1q}i_{1q} + x_{b2q}i_{2q} + \dots \\ \psi_c &= -x_{ca}i_a - x_{cb}i_b - x_{cc}i_c + x_{cf}i_{fd} + x_{c1d}i_{1d} + x_{c2d}i_{2d} \\ &\quad + \dots + x_{c1q}i_{1q} + x_{c2q}i_{2q} + \dots \end{aligned} \quad (5)$$

其中  $x$  是感应系数,并將在以后加以解釋。下标和以前一样,是指所涉及的电路。

### 磁場

$$\begin{aligned} \psi_{fd} &= -x_{fad}i_a - x_{fdb}i_b - x_{fc}i_c + x_{ff}i_{fd} + x_{f1d}i_{1d} + x_{f2d}i_{2d} \\ &\quad + \dots + x_{f1q}i_{1q} + x_{f2q}i_{2q} + \dots \end{aligned} \quad (6)$$

### 縱軸阻尼繞組

$$\begin{aligned}\psi_{1d} = & -x_{1ad}i_a - x_{1bd}i_b - x_{1cd}i_c + x_{1fd}i_{fd} + x_{11d}i_{1d} + x_{12d}i_{2d} \\ & + \dots + x_{1d1q}i_{1q} + x_{1d2q}i_{2q} + \dots,\end{aligned}\quad (7)$$

余类推。

### 交軸阻尼繞組

$$\begin{aligned}\psi_{1q} = & -x_{1aq}i_a - x_{1bq}i_b - x_{1cq}i_c + x_{1qfd}i_{fd} + x_{1q1d}i_{1d} + x_{1q2d}i_{2d} \\ & + \dots + x_{11q}i_{1q} + x_{12q}i_{2q} + \dots,\end{aligned}\quad (8)$$

余类推。

## 感应系数的关系式

### 電樞的自感系数

任一電樞繞組的自感系数，都在从極軸和相軸重合时的最大值，到極間軸和相軸重合时的最小值之間周期地变化着。由于轉子的对称，这个感应系数一定有一个 180 电度的周期，并且一定可以用偶倍数角的余弦級数来表达。在正弦的繞組分布假定之下，可以証明。只有这个級数最前面的兩項是重要的，即

$$x_{aa} = x_{aa0} + x_{aa2} \cos 2\theta_a \quad (9)$$

其中  $\theta_a$  是依轉子旋轉的方向而測量的、縱軸离开  $a$  相軸線的角度。

由于繞組的分布是正弦的， $a$  相里的电流，在气隙中产生一个磁勢空間諧波，对轉子而言，它仅属于基本諧波。它可以便利地分成与  $(\cos \theta_a)$  和  $(-\sin \theta_a)$  成比例的兩個分量，分別作用于縱軸和交軸上（請參看圖 5）。这些磁勢分量所产生的相应磁通分量是大小为  $(\phi_d = P_d \cos \theta_a)$  和  $(\phi_q = -P_q \sin \theta_a)$  的空間基本分量，其中  $P_d$  和  $P_q$  是分別地正比于縱軸和交軸的有效磁导系数的。它也产生空間諧波磁通分量，但因这些分量不鍵定子，現在和我們無关。这样說來，由于这个磁通而發生的  $a$  相磁鍵應和下式成比例（請參看

圖 5)。

$$\begin{aligned}\phi_a \cos \theta_a - \phi_q \sin \theta_a &= P_d \cos^2 \theta_a + P_q \sin^2 \theta_a \\ &= \frac{1}{2}(P_d + P_q) + \frac{1}{2}(P_d - P_q) \cos 2\theta_a = A + B \cos 2\theta_a\end{aligned}\quad (10)$$

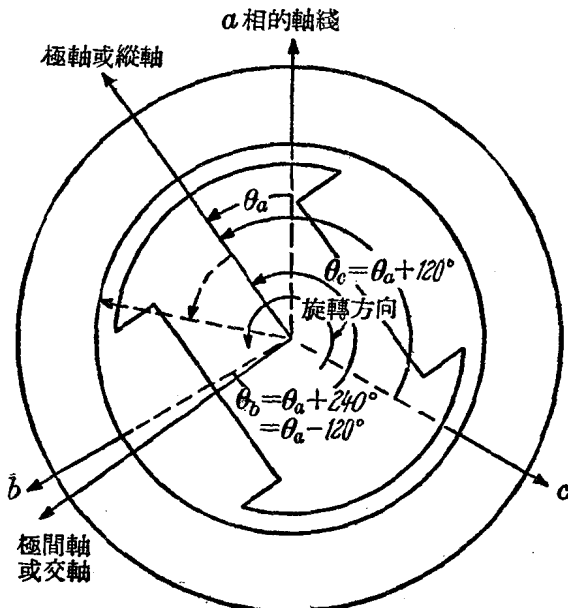


圖 5.

还有一些鏈着  $a$  相而不鏈轉子的磁通。这个磁通可归并到方程 10 的常数項  $A$  內，因而感应系数还是保持着方程式 9 的形式。

类似地，  
 $x_{bb} = x_{aa0} + x_{aa2} \cos 2\theta_b$   
 $x_{cc} = x_{aa0} + x_{aa2} \cos 2\theta_c$

其中，

$$\theta_a = \theta$$

$$\theta_b = \theta - 120^\circ \quad (12)$$

$$\theta_c = \theta + 120^\circ$$

### 电枢的互感系数

要决定例如  $a$  相和  $b$  相之間的互感系数的形式，我們得首先認識到，有一部分不和轉子相鏈的互感磁通，是和角度沒有关系的。那末，就  $a$  相里的电流而論，气隙磁通分量和以前一样正比于

$$\phi_d = P_d \cos \theta_a$$

和

$$\phi_q = -P_q \sin \theta_a \quad (13)$$

而这些分量与  $b$  相的磁鏈正比于

$$\begin{aligned} \phi_d \cos \theta_b - \phi_q \sin \theta_b &= P_d \cos \theta_a \cos \theta_b + P_q \sin \theta_a \sin \theta_b \\ &= P_d \cos \theta \cos(\theta - 120^\circ) \\ &\quad + P_q \sin \theta \sin(\theta - 120^\circ) \\ &= -\frac{1}{4}(P_d + P_q) + \frac{1}{2}(P_d - P_q) \cos 2(\theta - 60^\circ) \\ &= -\frac{1}{2}A + B \cos 2(\theta - 60^\circ) \\ &= -\left[\frac{1}{2}A + B \cos 2(\theta + 30^\circ)\right] \end{aligned}$$

总的互感系数因而属于下面的形式，

$$x_{ab} = -[x_{ab0} + x_{aa2} \cos 2(\theta + 30^\circ)]$$

請注意，互感系数的可变部分与自感系数的可变部分恰有同样的大小；而它的恒定部分的大小，非常接近自感系数恒定部分的一半。我們現在既然知道了答案，从对称上考慮，显然当極軸以  $30^\circ$  落后于  $a$  相，或  $30^\circ$  超前于  $b$  相时，这个互感系数  $x_{ab}$  应該有一个最大值(負的)，而当它位于这两相中間时，應該有一个最小值(負的)。我們也可以合理地設想，高次諧波各項不能在互感系数里出現，因为它們在自感系数里也給抹去了。

最后，我們能够把定子的全部互感系数写成

$$\begin{aligned} x_{ab} &= x_{ba} = -[x_{ab0} + x_{aa2} \cos 2(\theta + 30^\circ)] \\ x_{bc} &= x_{cb} = -[x_{ab0} + x_{aa2} \cos 2(\theta - 90^\circ)] \\ x_{ca} &= x_{ac} = -[x_{ab0} + x_{aa2} \cos 2(\theta + 150^\circ)] \end{aligned} \quad (14)$$